



ESCOLA SUPERIOR NÁUTICA INFANTE D. HENRIQUE

Projeto Integrado  
Professor Camilo Christo

Braço Robótico com 2 graus de liberdade  
e mão robótica com 5 graus de liberdade



Feito por  
Henrique Abrantes ([15196@enautica.pt](mailto:15196@enautica.pt))  
Christian Rodrigues ([15202@enautica.pt](mailto:15202@enautica.pt))  
Rodrigo Maria ([15217@enautica.pt](mailto:15217@enautica.pt))

TeSP Robótica e Inteligência Artificial



# Índice

1	Introdução .....	4
2	Descrição do Projeto.....	4
2.1	Manufatura Aditiva.....	5
2.2	Base do Braço e Estrutura .....	6
2.2.1	Componentes da Base: .....	7
2.3	Atuadores e Cinemática.....	8
2.3.1	Motor do Cotovelo ( <i>Pitch</i> ) .....	8
2.3.2	Atuadores do Efeito Final (Dedos).....	9
2.4	Arquitetura de Hardware e Eletrónica .....	11
2.4.1	Diagrama de Blocos do Hardware.....	13
2.4.2	Eletrónica e Alimentação.....	13
2.5	Esquema Elétrico e Interconexões.....	14
2.5.1	Matriz de Interconexões .....	15
2.5.2	Gestão de Energia e Isolamento .....	16
3.1	Controlo de Baixo Nível (Firmware).....	17
3.1.1	Subsistema de Controlo da Base (Arduino Uno 'Slave') .....	17
3.1.2	Lógica de Controlo do Braço (Arduino MEGA 2560).....	19
3.1.3	Protocolo de Comunicação UART .....	20
4	Sistema de Visão Computacional .....	21
4.1	Plataforma de Processamento .....	21
4.2	Fluxograma do Software .....	23
4.3	Seleção da Ferramenta: Framework MediaPipe .....	24
4.4	Metodologia de Desenvolvimento (PC vs. Raspberry Pi).....	25
4.5	Aquisição de Imagem e Multithreading .....	26
4.6	Lógica de Controlo e Utilização de Landmarks .....	26
4.6.1	Fundamentação Matemática: Cálculo de Ângulos Articulares.....	27
4.6.2	Estado dos Dedos (Aberto/Fechado) .....	27
4.6.3	Controlo da Base e Cotovelo (Direita / Centro / Esquerda) .....	28
4.6.4	Flexão do Cotovelo (Cima / Baixo).....	29
4.6.5	Rotação do Pulso (Roll).....	30
5	Resultados.....	31



5.1	Resultados da Construção.....	32
5.2	Validação da Visão Computacional .....	33
5.3	Validação Funcional (Mimetização).....	35
5.4	Desvios ao Projeto Inicial.....	36
5.5	Lista de Material Final.....	37
6	Conclusões e Trabalho Futuro .....	37
6.1	Propostas de Trabalho Futuro .....	38
7	Referências .....	39

## Índice de Figuras

FIGURA 1:	IMPRESSORA BAMBU LAB A1 DURANTE O PROCESSO DE IMPRESSÃO.	5	
FIGURA 2:	MODELO CAD DA BASE DO BRAÇO (MONTAGEM EM SOLIDWORKS).	6	
FIGURA 3	FIGURA 4	FIGURA 5	7
FIGURA 6		FIGURA 7	8
FIGURA 8		FIGURA 9	8
FIGURA 10			8
FIGURA 11:	DIAGRAMA DE BLOCOS .....	13	
FIGURA 12:	DIAGRAMA DE LIGAÇÕES ELÉTRICAS E FLUXO DE SINAIS (GERADO EM CIRKIT DESIGNER). VERSÃO INTERATIVA DISPONÍVEL EM [14]	14	
FIGURA 13:	FLUXOGRAMA .....	23	
FIGURA 14:	TOPOLOGIA DOS 21 LANDMARKS DETETADOS PELO MODELO MEDIAPIPE HANDS.	24	
FIGURA 15:	MAPEAMENTO DOS LANDMARKS CORPORais DO MODELO MEDIAPIPE POSE.	25	
FIGURA 16:	VISUALIZAÇÃO EM TEMPO REAL DAS LANDMARKS DETETADAS.	25	
FIGURA 17:	INTERFACE DE DEPURAÇÃO EM FUNCIONAMENTO .....	26	
FIGURA 18:	CONJUNTO DE COMPONENTES ESTRUTURAIS DO BRAÇO PRODUZIDOS EM PLA.	32	
FIGURA 19:	VISTA GERAL DO SISTEMA ROBÓTICO PARCIALMENTE MONTADO.	32	
FIGURA 20:	COMPONENTE DA BASE SUPERIOR DO BRAÇO SUJEITO A ALTERAÇÕES PÓS-IMPRESSÃO.	33	
FIGURA 21:	DEMONSTRAÇÃO FUNCIONAL DO SISTEMA INTEGRADO .....	34	
FIGURA 22:	SEQUÊNCIA DE TESTE FUNCIONAL EM TEMPO REAL.	36	
FIGURA 23:	MECANISMO DE ACOPLAGEM DA BASE SUPERIOR.	36	

## Índice de Tabelas

TABELA 1:	CONFIGURAÇÕES DA IMPRESSORA .....	6
TABELA 2:	Motores utilizados .....	11
TABELA 3:	MAPEAMENTO DE PINOS E PROTOCOLOS DE COMUNICAÇÃO.	15
TABELA 4:	LISTA DE MATERIAL.....	37



# 1 Introdução

O presente projeto surge no âmbito da Unidade Curricular de Projeto Integrado, na qual foram propostos diversos temas para desenvolvimento. Após a análise das propostas iniciais, optou-se pela implementação de um projeto alternativo [1], focado no desenvolvimento de um braço robótico humanoide controlado por sistemas de visão computacional.

O objetivo central do trabalho consiste na conceção e assemblagem de um braço robótico com 2 graus de liberdade (DoF), permitindo a rotação da base (*Yaw*) e a elevação do cotovelo (*Pitch*). A este braço foi acoplada uma mão robótica antropomórfica com 5 dedos independentes, conferindo mais 5 DoF ao sistema (totalizando 7 DoF no conjunto).

A estratégia de controlo baseia-se no processamento de imagem em tempo real, onde o sistema interpreta os movimentos humanos e os replica nos servomotores. Relativamente à construção mecânica, toda a estrutura estrutural foi produzida integralmente através de processos de manufatura aditiva (impressão 3D), recorrendo aos equipamentos e recursos disponibilizados pela instituição de ensino.

## 2 Descrição do Projeto

O desenvolvimento deste sistema robótico antropomórfico resulta da integração multidisciplinar entre engenharia mecânica, eletrónica de potência e desenvolvimento de *software*. O presente capítulo detalha as etapas construtivas e as decisões de projeto que permitiram transformar o modelo teórico num protótipo funcional, capaz de mimetizar os movimentos do membro superior humano.

A descrição técnica encontra-se estruturada de forma sequencial, abordando as três camadas fundamentais do sistema:

1. **Estrutura Mecânica:** Descrição dos processos de manufatura aditiva (Impressão 3D), escolha de materiais e assemblagem das articulações baseadas no projeto *open-source* InMoov.
2. **Hardware e Eletrónica:** Análise da arquitetura de circuitos, distribuição de energia e seleção de atuadores (servomotores e motores de passo) e controladores (Arduinos).
3. **Lógica de Controlo:** Explicação dos algoritmos de *firmware* responsáveis pela gestão cinemática e comunicação entre os diversos módulos do sistema.

Ao longo das secções seguintes, são justificados os componentes selecionados e descritas as adaptações realizadas para cumprir os requisitos de estabilidade, torque e tempo de resposta do robô.



## 2.1 Manufatura Aditiva

Os modelos tridimensionais dos componentes estruturais do braço robótico tiveram como base um projeto já existente [2], devidamente citado nas referências.

Para o processo de fabrico via manufatura aditiva (Impressão 3D), recorreu-se aos recursos laboratoriais disponibilizados pela instituição de ensino. O equipamento selecionado para a produção integral das peças foi a impressora 'Bambu Lab A1'. Esta escolha justificou-se pela sua superior velocidade de deposição e elevada precisão dimensional em comparação com as restantes alternativas disponíveis no laboratório.

Relativamente à matéria-prima, optou-se pela utilização de filamento PLA (Ácido Polilático), devido às suas características mecânicas adequadas e facilidade de impressão.



Figura 1: Impressora Bambu Lab A1 durante o processo de impressão.

Durante a fase inicial de fabrico, identificou-se um desafio técnico: após a deposição das primeiras camadas, observou-se o levantamento de uma das extremidades da peça, fenómeno tecnicamente designado por *warping*. Em consequência desta anomalia, foi necessário interromper o processo de impressão.

Numa primeira tentativa de mitigação, procedeu-se à elevação da temperatura da base aquecida (*bed*) de 65 °C para 70 °C, com o intuito de potenciar a aderência do material. Simultaneamente, reduziu-se a velocidade de impressão para o modo 'Silent' (50%). Contudo, estas medidas não se revelaram eficazes, persistindo o problema de descolamento.

Como solução definitiva, recorreu-se à implementação da técnica de 'Brim' (aba), que consiste na geração de uma estrutura periférica adicional em torno da peça. Esta técnica permitiu ampliar a área de contacto com a superfície de impressão, maximizando a aderência. Nesta configuração final, manteve-se a velocidade no modo 'Standard' (100%) e a temperatura da base nos 65 °C, obtendo-se resultados satisfatórios.



As principais configurações da impressora para a impressão foram as seguintes:

**Definições de impressão**

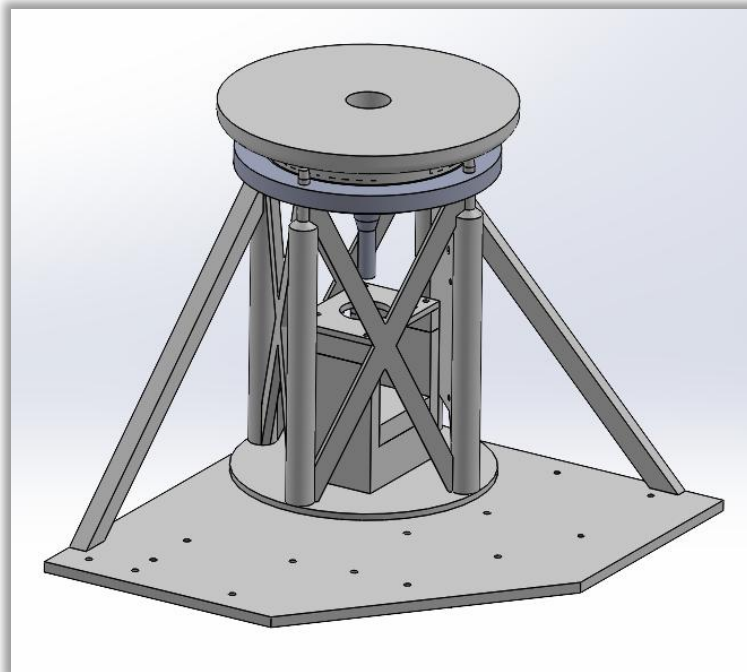
Temperatura do extusor	220°C
Temperatura da mesa	65°C
Velocidade de Impressão	“Standart” 100%
“Wall Loops” por peça	2
Tamanho da camada	0.20mm
Densidade do “Infill”	30%

*Tabela 1: Configurações da impressora*

## 2.2 Base do Braço e Estrutura

De forma a garantir a estabilidade mecânica do sistema e fornecer um grau de liberdade adicional (*Yaw*) ao conjunto, foi desenvolvido um suporte estrutural personalizado. Ao contrário da configuração padrão do projeto InMoov, que contempla um torso completo, este projeto exigiu a conceção de uma base compacta capaz de alojar os microcontroladores e suportar as cargas axiais e radiais exercidas pelo movimento do braço.

O design mecânico foi modelado em ambiente CAD (SolidWorks), priorizando a modularidade e a facilidade de montagem através de conexões parafusadas, conforme ilustrado na **Figura 4**.



*Figura 2: Modelo CAD da base do braço (montagem em Solidworks).*

## 2.2.1 Componentes da Base:

- **Estrutura principal da base (Fig. 5):** Componente estrutural que aloja o Motor de passo, o Raspberry Pi, o Arduino MEGA e o Arduino Uno. Desempenha ainda a função crítica de suportar a carga axial (peso) do braço robótico, isolando o veio do motor de passo desse esforço mecânico.
- **Espaçadores do Motor de passo (Fig. 6 e 7):** Peças de extensão desenhadas para garantir o alinhamento vertical correto, permitindo que o veio do motor alcance o Acoplamento Rotativo (Fig. 10).
- **Interface de Acoplamento do Braço (Fig. 8):** Devido à área de contacto reduzida do rolamento (Fig. 12), foi necessário desenvolver uma interface intermédia. Esta estrutura é composta por dois segmentos: a **Base do Braço Inferior** (Fig. 8) e a **Base do Braço Superior** (Fig. 9). A base inferior acopla-se diretamente ao rolamento, enquanto a base superior se fixa à inferior, garantindo uma superfície estável para o braço.
- **Acoplamento Rotativo (Fig. 10):** Elemento de transmissão mecânica responsável pela união solidária entre o rolamento e o veio do motor de passo.
- **Suporte de Fixação do Motor (Fig. 11):** Componente que assegura a fixação rígida do motor à estrutura principal da base.
- **Rolamento (Fig. 12):** Elemento de ligação mecânica que conecta a estrutura estática da base à parte móvel (Base do braço inferior). Trata-se de um componente comercial (hardware não impresso).

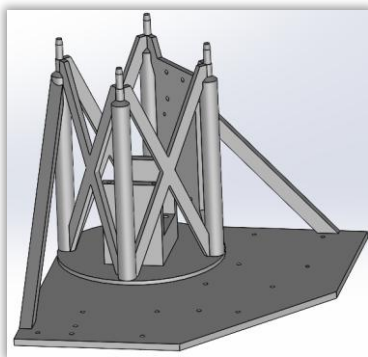


Figura 3

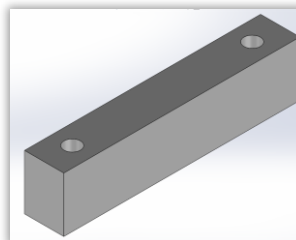


Figura 4

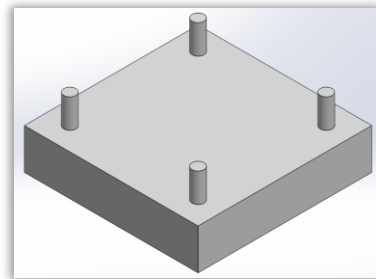


Figura 5

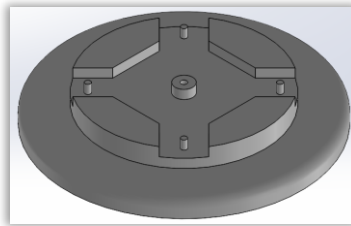


Figura 6

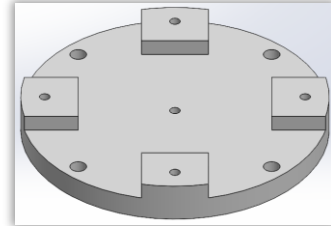


Figura 7

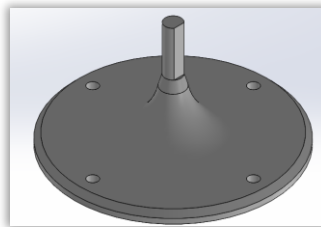


Figura 8

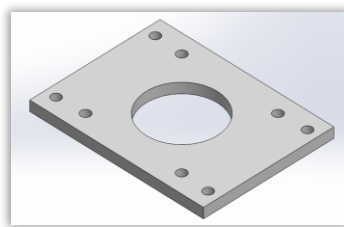


Figura 9

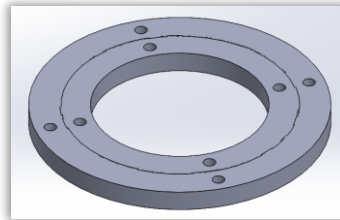


Figura 10

## 2.3 Atuadores e Cinemática

O processo de seleção dos servomotores baseou-se no cálculo do binário (*torque*) necessário para realizar os movimentos críticos do braço, garantindo a capacidade de suporte de carga e a estabilidade do sistema.

### 2.3.1 Motor do Cotovelo (*Pitch*)

Para esta articulação, o cálculo focou-se no binário estático necessário para vencer a força gravítica e sustentar o peso do antebraço e da mão. A equação fundamental do binário é dada por:

$$\tau = F \cdot l$$

Onde:

- $\tau$ : Binário ( $N \cdot m$ )
- F: Força Peso ( $N$ ), calculada por  $F = m \cdot g$
- $l$ : Comprimento do braço de alavanca (distância ao ponto de rotação)



Considerando os seguintes parâmetros do projeto:

- Comprimento do braço de alavanca ( $l$ ): 0.25m (25cm)
- Massa estimada do conjunto (m):  $\sim 1\text{ Kg}$
- Aceleração gravítica (g):  $9.80665\text{m/s}^2$

Obtém-se o binário nominal:

$$F_{base} = m \cdot g$$

Combinando as fórmulas, temos:

$$\tau = m \cdot g \cdot l$$

Substituindo a fórmula:

$$\tau_{base} = mgl \rightarrow 1 * 9.80665 * 0.25 = 2.45N \cdot m$$

Para garantir a robustez do sistema face a acelerações dinâmicas, vibrações e peso de cablagens não contabilizado, aplicou-se um **Fator de Segurança (FS)** de 1.1.

$$\tau_{final} = 2.45 * 1.1 = 2.7N \cdot m$$

Convertendo para a unidade comercial de servomotores (1 N · m  $\sim 10.197\text{ kgf} \cdot \text{cm}$ ), o requisito mínimo é de aproximadamente **27.5 kgf · cm**

**Seleção:** A escolha recaiu sobre o modelo **DS5160**, um servo digital com capacidade de **60 kgf · cm**. Embora sobredimensionado face ao valor calculado, esta opção foi ditada pela disponibilidade de *stock* na instituição, oferecendo em contrapartida uma excelente margem de segurança e estabilidade térmica.

### 2.3.2 Atuadores do Efeito Final (Dedos)

Para dimensionar os motores da mão, considerou-se a força de atrito necessária para a preensão segura de um objeto de massa conhecida (ex: bola de ténis), tendo em conta as propriedades do material dos dedos (PLA).



## Parâmetros de Cálculo:

- Número de dedos (n): 5
- Massa do objeto (m): 0,06 kg
- Coeficiente de atrito estático ( $\mu$ ): 0,2 (caso desfavorável) a 0,5 (caso favorável)
- Comprimento do braço de momento ( $L_{total}$ ):  $\approx 0,18$  m
- Fator de Segurança (FS): 2

## Cálculo das Forças:

O peso do objeto (W) é calculado como:

$$W = m \cdot g = 0.06 \cdot 9.80665 = 0.59N$$

Força normal necessária em cada dedo (sem fator de segurança):

$$N_{cada} = \frac{W}{\mu \cdot n}$$

Para  $\mu = 0.2$ :

$$N_{cada} = \frac{0.59}{0.2 \cdot 5} = 0.59N$$

Aplicando o fator de segurança:

$$N_{req} = SF \cdot N_{cada} = 2 \cdot 0.59 = 1.18N$$

Binário necessário no atuador (caso desfavorável,  $\mu = 0.2$ ):

$$\tau_{motor} = N_{req} \cdot L_{total} = 1.18 \cdot 0.18 = 0.22N \cdot m (\sim 2.24kgf \cdot cm)$$

Caso favorável ( $\mu = 0.5$ ):

$$N_{cada} = \frac{0.59}{0.5 \cdot 5} = 0.24N \cdot m$$

$$N_{req} = 2 \cdot 0.24 = 0.47N \cdot m$$

$$\tau_{motor} = 0.47 \cdot 0.18 = 0.085N \cdot m (\sim 0.87kgf \cdot cm)$$



## Análise Crítica e Seleção:

Embora o cálculo teórico aponte para um requisito máximo de 2,24 kgf.cm, este modelo idealizado não contempla perdas mecânicas significativas do sistema real, tais como:

1. Atrito nos tendões e nas articulações impressas em 3D;
2. Elasticidade e deformação do material (PLA);
3. Distribuição desigual de carga entre os dedos;
4. Resistência mecânica oferecida pelas molas de retorno.

Estima-se que estas ineficiências possam elevar o requisito real de binário entre 5 e 10 vezes o valor teórico. Consequentemente, optou-se pela utilização de servomotores MG996R de engrenagens metálicas, com binário entre 9 e 11 kgf.cm. Esta escolha garante a força necessária para uma preensão firme, compensando todas as perdas por atrito e ineficiências mecânicas do sistema de cabos.

Para a base utilizou-se um motor de passo pela sua precisão.

Motores utilizados:

REFERÊNCIA	FORÇA	QUANTIDADE	UTILIDADE
SERVO DS5160	60kgf/cm	1	Cotovelo
SERVO MG996R	9-11kgf/cm	6	Dedos e Pulso
STEP-MOTOR 17HS4401S	4.3kgf/cm	1	Base

Tabela 2: Motores utilizados

## 2.4 Arquitetura de Hardware e Eletrónica

A arquitetura do sistema foi estruturada com base numa abordagem distribuída, compreendendo três unidades de processamento distintas: um **Raspberry Pi 5** (RPi), responsável pelas tarefas de visão computacional de alto nível; um **Arduino MEGA 2560**, encarregue do controlo lógico de baixo nível e coordenação geral; e um **Arduino Uno**, dedicado exclusivamente ao acionamento e controlo do motor de passo da base.

- **Raspberry Pi 5 (Visão Computacional)** O Raspberry Pi 5 consiste num *Single Board Computer* (SBC) de elevado desempenho, operando sob o sistema operativo Linux. Distingue-se dos microcontroladores convencionais pela integração de um processador Quad-core Arm Cortex-A76 e memória RAM dedicada.



- **Função no Projeto:** Este dispositivo é responsável pela aquisição e processamento de vídeo em tempo real. A sua seleção deveu-se à capacidade de processamento necessária para executar tarefas computacionalmente exigentes, inviáveis para um microcontrolador padrão, tais como a execução de algoritmos de Inteligência Artificial e o cálculo da cinemática do braço. O *software* de visão foi implementado através de *scripts* na linguagem Python.
- **Arduino MEGA 2560 (Controlo Central)** O Arduino MEGA é uma placa de desenvolvimento baseada no microcontrolador ATmega2560, atuando neste sistema como a unidade central de coordenação e controlo.
  - **Função no Projeto:** A opção pelo modelo MEGA, em detrimento do Uno para esta função específica, justifica-se pela disponibilidade de quatro portas de comunicação série por *hardware* (UART - Serial1, Serial2, etc.). Esta característica permite estabelecer comunicação de alta velocidade com o Raspberry Pi numa porta dedicada e, simultaneamente, transmitir comandos para o Arduino Uno numa segunda porta, evitando o uso de emulação por *software* (*SoftwareSerial*) e a consequente latência. Programado em C/C++, este módulo recebe os comandos angulares do RPi e gera os sinais de controlo precisos para os servomotores.
- **Arduino Uno (Controlo do Motor de Passo)** Esta unidade foi alocada exclusivamente ao controlo do motor de passo da base. Programado em C/C++, o Arduino Uno recebe as instruções de posicionamento provenientes do Arduino MEGA e converte-as nos sinais elétricos necessários para o acionamento preciso do motor.

## 2.4.1 Diagrama de Blocos do Hardware

Mostra como os cabos ligam as placas.

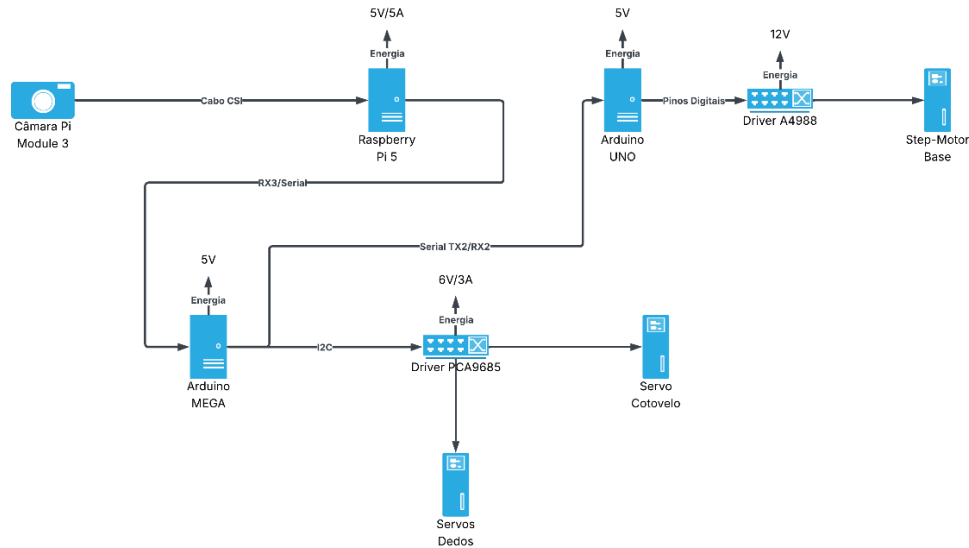


Figura 11: Diagrama de Blocos

## 2.4.2 Eletrónica e Alimentação

Devido ao elevado consumo energético dos atuadores mecânicos, optou-se pela utilização de duas fontes de alimentação de bancada independentes para isolar os circuitos de potência: uma fonte configurada a **7V/3A** dedicada aos servomotores e uma segunda fonte a **13V/2A** exclusiva para o motor de passo.

Relativamente aos microcontroladores, a alimentação do Arduino MEGA e do Arduino Uno é assegurada através da conexão USB. Por sua vez, o Raspberry Pi 5 recebe energia através de uma fonte de alimentação dedicada (transformador) ou baterias oficiais, garantindo a estabilidade de corrente necessária para o processamento.

- Servomotores (MG996R e DS5160):** O conjunto de 7 servomotores (responsáveis pela actuação dos 5 dedos, do pulso e do cotovelo) recebe os sinais de controlo e a alimentação de potência através do módulo *driver* PWM (PCA9685), cujo funcionamento será detalhado na secção seguinte.
- Motor de Passo (17HS4401S):** O controlo da base é efetuado por intermédio de um *driver* A4988. Este componente interpreta os sinais lógicos de *STEP* (passo) e *DIR* (direção) enviados pelo Arduino, sendo a alimentação de potência (13V, 2A) fornecida pela fonte externa mencionada anteriormente.

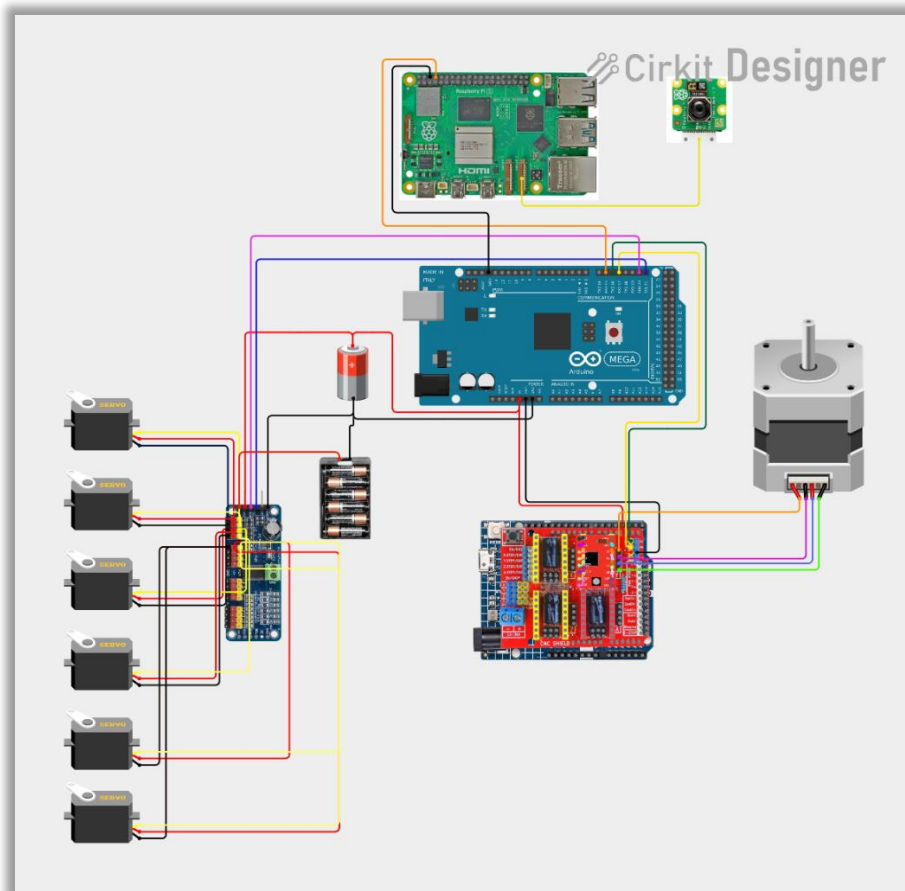
#### 2.4.2.1 Eletrónica de Controlo (PCA9685)

Um desafio comum em projetos de robótica é o facto de o microcontrolador (Arduino) não possuir pinos PWM em número suficiente ou com corrente estável para controlar múltiplos motores em simultâneo. Por esse motivo, implementámos o controlador **PCA9685**. Este módulo permite controlar até 16 servomotores utilizando apenas **dois pinos do Arduino (barramento I2C)**. Além disso, permite ligar uma fonte de alimentação externa dedicada aos motores, o que evita que o Arduino sofra quedas de tensão ou danos por picos de consumo de corrente

### 2.5 Esquema Elétrico e Interconexões

A integridade do sistema robótico depende de uma arquitetura elétrica robusta, capaz de interligar componentes com diferentes níveis de tensão lógica (3.3V no Raspberry Pi e 5V nos Arduinos) e isolar os circuitos de alta corrente (motores) dos circuitos de processamento.

A **Figura 12** ilustra o diagrama esquemático completo desenvolvido na plataforma *Cirkit Designer*. Para uma análise detalhada de cada conexão e pinout, recomenda-se a consulta do diagrama digital interativo disponível nas referências [14].



*Figura 12: Diagrama de ligações elétricas e fluxo de sinal (Gerado em Cirkit Designer). Versão interativa disponível em [14].*



### 2.5.1 Matriz de Interconexões

Para facilitar a leitura técnica e a replicação do projeto, a **Tabela 3** resume as interfaces físicas estabelecidas entre os principais módulos do sistema.

<b>ORIGEM (MESTRE /SINAL)</b>	<b>DESTINO (ESCRAVO/R ECEPTOR)</b>	<b>TIPO DE CONEXÃO</b>	<b>PINOS ORIGEM</b>	<b>PINOS DESTI NO</b>	<b>DESCRIÇÃ O DA FUNÇÃO</b>
<b>RASPBERRY PI 5</b>	<b>Arduino MEGA</b>	UART (Série)	GPIO 14 (TX)	Pin 19 (RX1)	Envio de coordenada s de visão (Mão/Corp o).
<b>ARDUINO MEGA</b>	<b>Arduino Uno</b>	UART (Série)	Pin 18 (TX1)	Pin 0 (RX)	Envio de comandos p/ base ('0', '1', '2').
<b>ARDUINO MEGA</b>	<b>Driver PCA9685</b>	I2C	SDA (20) / SCL (21)	SDA / SCL	Controlo PWM dos 6 Servomotor es.
<b>ARDUINO UNO</b>	<b>CNC Shield V3</b>	<i>Shield</i> (Direto)	Pinos 2, 5, 8	X-Step, X-Dir, En	Controlo do Motor de Passo NEMA 17.
<b>FONTE 1 (LOGIC)</b>	<b>Arduinos / RPi</b>	USB / 5V	-	VCC / 5V	Alimentaçã o dos microcontro ladores.
<b>FONTE 2 (POWER)</b>	<b>Atuadores</b>	Cabo AWG	-	Termin ais Ext.	Alimentaçã o de carga (Servos e NEMA 17).

*Tabela 3: Mapeamento de Pinos e Protocolos de Comunicação.*



## 2.5.2 Gestão de Energia e Isolamento

Um dos pontos críticos do projeto foi a separação dos barramentos de alimentação para evitar que o ruído elétrico dos motores interferisse no processamento lógico ou causasse *brownouts* (quedas de tensão) nos Arduinos.

### A. Driver de Servos (PCA9685):

O módulo PCA9685 possui dois terminais de alimentação distintos, configurados da seguinte forma:

- **VCC (Lógica):** Alimentado com **5V** provenientes do Arduino MEGA. Este pino alimenta apenas o *chip* controlador do driver e a comunicação I2C.
- **V+ (Potência):** Conectado diretamente a uma fonte externa de **6V** de alta amperagem. Esta entrada fornece a corrente exclusiva para o movimento dos servomotores, garantindo que o Arduino não suporta a carga elétrica dos atuadores.

### B. CNC Shield V3 (Motor de Passo):

O *shield* acoplado ao Arduino Uno recebe uma alimentação externa de **12V** nos bornes de potência, necessária para garantir o binário do motor NEMA 17. A lógica de controlo (STEP, DIR, ENABLE) opera a 5V, partilhando apenas o referencial de massa (**Common Ground**) com o restante sistema.

### 3 2.5.3. Configuração do Arduino Uno (Controlador da Base)

O Arduino Uno atua como um escravo dedicado, executando um *firmware* específico para a gestão do *driver* A4988. Conforme o código implementado, as ligações físicas no CNC Shield correspondem às definições padrão do Eixo X:

- **Pino 2 (STEP):** Recebe os pulsos de passo (onda quadrada) gerados pela função moveMotor().
- **Pino 5 (DIR):** Define o sentido de rotação (Horário/Anti-horário).
- **Pino 8 (ENABLE):** Ativo a nível baixo (LOW). É utilizado para energizar as bobinas do motor, garantindo o binário de retenção ("travão") quando o braço está parado.

Esta arquitetura hierárquica (Raspberry Pi -> Arduino MEGA -> Arduino Uno) assegura que o processamento pesado de imagem não introduz latência na geração dos sinais críticos de controlo dos motores.



### 3.1 Controlo de Baixo Nível (Firmware)

O subsistema de controlo de baixo nível constitui a camada de abstração entre o processamento de imagem (alto nível) e a atuação mecânica. Dada a complexidade cinemática do robô e a necessidade de gerir múltiplos sinais em tempo real, optou-se por uma **arquitetura de processamento distribuído**.

Ao contrário de uma abordagem centralizada, onde um único processador gere a visão e os motores, este projeto delega as tarefas críticas de temporização (*hard real-time*) a microcontroladores dedicados (ATmega2560 e ATmega328P). Esta estratégia oferece duas vantagens fundamentais:

1. **Estabilidade do Sinal:** Garante que a geração de sinais PWM (para os servos) e de pulsos de passo (para a base) não sofre interrupções ou latência devido ao processamento pesado da visão computacional no Raspberry Pi.
2. **Modularidade:** Permite testar e depurar cada articulação do robô individualmente.

O *firmware* foi desenvolvido em C++ (ambiente Arduino IDE), implementando uma topologia **Mestre-Escravo** (*Master-Slave*), conforme detalhado nas secções seguintes. O Arduino MEGA atua como o controlador central (Mestre), recebendo coordenadas da visão e distribuindo tarefas, enquanto o Arduino Uno atua como um controlador auxiliar (Escravo) dedicado exclusivamente à gestão precisa do motor de passo da base.

#### 3.1.1 Subsistema de Controlo da Base (Arduino Uno 'Slave')

Para assegurar o posicionamento preciso do eixo de rotação da base (*Yaw*), optou-se por uma arquitetura distribuída onde um Arduino Uno opera como unidade secundária (*slave*). Esta abordagem isola o Arduino MEGA da tarefa de gerar sinais de alta frequência necessários para o controlo do motor de passo.

##### A. Implementação de Hardware e Potência:

A atuação mecânica é realizada por um motor de passo bipolar (modelo **17HS4401S**), gerido através de uma placa de expansão **CNC Shield V3**. A escolha deste *shield* oferece vantagens críticas ao projeto:

- **Isolamento de Potência:** Permite a conexão de uma fonte de alimentação externa dedicada ao motor (12V), separando-a da alimentação lógica do microcontrolador (5V).
- **Modularidade e Filtragem:** Integra *sockets* para drivers (utilizou-se o modelo **A4988**) e condensadores eletrolíticos para estabilização de tensão e supressão do ruído elétrico gerado pela comutação das bobinas.



**Interconexões do Sistema:** As ligações físicas na placa CNC Shield foram estabelecidas da seguinte forma:

- **Eixo X (Motor):** O motor de passo conecta-se diretamente à barreira de 4 pinos do driver X.
- **Interface de Comunicação:** Estabeleceu-se uma ponte UART cruzada, ligando o pino RX do Shield ao TX do Arduino MEGA (e vice-versa), permitindo a receção de comandos.
- **Referência Comum (Common Ground):** Os pinos GND de ambos os microcontroladores foram interligados para garantir um nível de tensão de referência zero comum, essencial para a estabilidade da comunicação lógica.

## B. Lógica de Controlo e Firmware:

O *firmware* implementado é responsável pela gestão de estados da posição angular ( $0^\circ$ ,  $+90^\circ$ ,  $-90^\circ$ ). O ciclo de funcionamento divide-se em três etapas fundamentais:

**1. Configuração de Pinos (Setup)** Durante a inicialização, os pinos de controlo do driver A4988 são definidos como saídas digitais, operando com a seguinte lógica:

- **ENABLE (Ativação):** Opera com lógica inversa. É mantido em estado BAIXO (LOW) para energizar as bobinas e garantir o binário de retenção (*holding torque*). O estado ALTO (HIGH) desativaria o motor, libertando o eixo.
- **DIR (Direção):** Sinal binário que determina o sentido de rotação. A alternância entre HIGH e LOW inverte a sequência de energização das fases.
- **STEP (Passo):** Responsável pela execução do movimento discreto. Cada transição ascendente (de LOW para HIGH) resulta no avanço de um passo mecânico ( $1.8^\circ$ ).

**2. Processamento e Decisão** O sistema monitoriza continuamente o *buffer* da porta série. Ao detetar um comando válido ('0', '1' ou '2'), o algoritmo compara o valor recebido com a variável global posicaoAtual. Se houver divergência, calcula o diferencial de passos e define o estado do pino DIR para a rotação correta.

**3. Atuação (Geração de Sinal)** A função moveMotor() converte a decisão lógica em movimento físico, gerando uma onda quadrada no pino STEP. A velocidade angular é controlada com precisão através de um atraso de 500 microsssegundos (delayMicroseconds) entre as transições de estado, garantindo um movimento suave e sem perda de passos.

(O código-fonte completo deste módulo encontra-se disponível no Anexo A).



### 3.1.2 Lógica de Controlo do Braço (Arduino MEGA 2560)

Arduino MEGA 2560 assume o papel de coordenador central do movimento robótico. Diferindo do Raspberry Pi (focado na visão computacional) e do Arduino Uno (dedicado ao motor de passo), este microcontrolador é responsável pela gestão simultânea de múltiplos protocolos de comunicação. O seu ciclo de funcionamento baseia-se em três etapas fundamentais:

**1. Gestão do *Buffer* Série** O processador monitoriza a porta Série 1 (*HardwareSerial*) aguardando a receção do marcador de início (\$). Após a deteção, os *bytes* subsequentes são armazenados num *buffer* de memória até ser encontrado o marcador de fim (\n). Este mecanismo de validação previne a execução de comandos incompletos ou corrompidos, assegurando a integridade da operação.

**2. *Parsing* (Interpretação de Dados)** A cadeia de caracteres recebida (ex: "1,0,180,0,180...") é fragmentada utilizando a vírgula como delimitador. Os valores textuais extraídos são convertidos em números inteiros, representando os ângulos ou estados lógicos desejados para cada atuador.

**3. Mapeamento e Atuação I2C** Os valores angulares (0° a 180°) não são enviados diretamente para os servomotores. O Arduino converte estes valores em largura de pulso PWM (tipicamente mapeados entre 150 e 600 unidades discretas para o contador de 12-bits). Estes dados são posteriormente transmitidos via barramento I2C para o módulo controlador PCA9685.

O código-fonte completo desenvolvido para o Arduino MEGA encontra-se disponível no **Anexo C**.

### Controlador PWM/Servo (PCA9685)

Para o controlo dos servomotores, recorreu-se à utilização do módulo **PCA9685**. Este *driver* de 16 canais permite a alimentação externa dos servos (isolando a carga de potência do microcontrolador) e utiliza uma interface I2C para o comando preciso dos sinais PWM. O esquema de pinagem (*pinout*) do PCA9685 encontra-se disponível no **Anexo 2**.



**Interconexões do Sistema:** As ligações efetuadas entre o módulo e o Arduino MEGA foram as seguintes:

- **VCC:** Ligado a 5V (Alimentação lógica).
- **GND:** Ligado ao Ground (Terra comum).
- **SDA:** Ligado ao pino SDA (Pino 20 no MEGA).
- **SCL:** Ligado ao pino SCL (Pino 21 no MEGA).

### 3.1.3 Protocolo de Comunicação UART

O estabelecimento da comunicação entre a unidade de processamento de imagem (Raspberry Pi) e o controlador central (Arduino MEGA) é concretizado através do protocolo **UART** (*Universal Asynchronous Receiver-Transmitter*), mediante a interligação física dos pinos de transmissão (TX) e receção (RX).

Neste processo, é transmitida continuamente uma cadeia de caracteres (*string*) formatada, contendo as instruções de controlo. De forma a garantir a sincronização e integridade dos dados, cada mensagem é encapsulada por um marcador de início (\$) e um terminador de fim de linha (\n). A trama de dados é composta por 8 parâmetros separados por vírgulas.

#### Estrutura da Trama de Dados:

\$<Orientação>,<Flexão>,<D1>,<D2>,<D3>,<D4>,<D5>,<Rotação>\n

#### Legenda dos Parâmetros:

- **Orientação (Base):** Valor inteiro (0, 1 ou 2) para controlo do motor de passo.
- **Flexão (Cotovelo):** Estado binário (0 ou 1) para extensão ou flexão.
- **D1 a D5:** Estado binário (0 ou 1) correspondente aos dedos (Indicador, Médio, Anelar, Mínimo e Polegar).
- **Rotação:** Valor analógico (0 a 180) correspondente ao ângulo do servo de rotação do pulso.



## Exemplo de Comando:

- `$1,0,1,1,1,1,1,90\n` (*Interpretação: Base ao centro, Cotovelo estendido, Todos os dedos fechados, Pulso rodado a 90 graus*).

**Processamento de Dados (Parsing):** Do lado do receptor (Arduino MEGA), foi implementado um *parser* (analisador sintático) que monitoriza o *buffer* de entrada. O algoritmo aguarda a deteção do marcador \$, procedendo à leitura da *string* até encontrar o terminador \n. Subsequentemente, os valores são segmentados com base no delimitador (vírgula) para distribuição pelos respectivos atuadores. Esta abordagem assegura que apenas pacotes de dados completos são processados, incrementando a robustez do sistema.

## 4 Sistema de Visão Computacional

O subsistema de visão computacional constitui a camada de inteligência do projeto, atuando como o elemento primário de interação homem-máquina (HMI). Ao substituir controladores físicos tradicionais (como *joysticks* ou botões) por algoritmos de reconhecimento gestual, este módulo permite uma operação intuitiva e sem contacto (*contactless*).

O presente capítulo descreve a arquitetura de *software* desenvolvida para o Raspberry Pi 5, fundamentando a seleção da *framework* MediaPipe para a extração de esqueleto humano. Serão detalhados os desafios de processamento em tempo real, a fundamentação matemática para o cálculo de ângulos articulares e a lógica de conversão destes dados em comandos de atuação mecânica.

### 4.1 Plataforma de Processamento

O núcleo computacional do sistema de visão artificial baseia-se no *Single Board Computer* (SBC) **Raspberry Pi 5**. A seleção desta plataforma foi determinante, pois a execução de modelos de *Deep Learning* em tempo real exige uma capacidade de processamento vetorial significativamente superior à dos microcontroladores convencionais.

**Hardware Utilizado:** Optou-se pela versão de **8GB de RAM** do Raspberry Pi 5, equipada com o processador Broadcom BCM2712 (Arm Cortex-A76 *quad-core* a 2.4GHz). Esta especificação garante a fluidez necessária (15-20 FPS) para a inferência simultânea dos modelos de mãos e postura corporal.



**Acesso Remoto e Telemetria (Headless):** Para garantir a portabilidade do robô e eliminar a necessidade de monitores ou periféricos físicos acoplados à estrutura, o sistema opera em modo *headless*. A interface de visualização e *debug* é acedida remotamente através do serviço **Raspberry Pi Connect**. A conexão de rede é estabelecida via **Hotspot Móvel 5G**, uma escolha estratégica para minimizar a latência de vídeo e garantir uma largura de banda estável, contornando as flutuações e restrições de segurança típicas de redes Wi-Fi locais partilhadas.

**Interface de Comunicação (Hardware UART):** Diferenciando-se das abordagens convencionais que utilizam cabos USB para comunicação série, este projeto implementa uma ligação direta ao nível do barramento. A transmissão de dados para o controlador utiliza a porta **UART (Universal Asynchronous Receiver-Transmitter)** dos pinos GPIO:

- **Ligaçāo Física:** O pino TX (**GPIO 14**) do Raspberry Pi conecta-se diretamente ao pino RX do Arduino MEGA.
- **Vantagem Técnica:** Esta topologia elimina a *overhead* do protocolo USB e a necessidade de conversores USB-Série externos, reduzindo a latência de envio dos pacotes de comando e simplificando a cablagem interna do robô.

**Ambiente de Software:** O sistema corre sobre o **Raspberry Pi OS (Bookworm) 64-bit**, utilizando **Python 3** e as bibliotecas **OpenCV** e **MediaPipe** para o processamento visual, e **PySerial** para a gestão do fluxo de dados na porta UART.



## 4.2 Fluxograma do Software

Mostra como o código pensa.

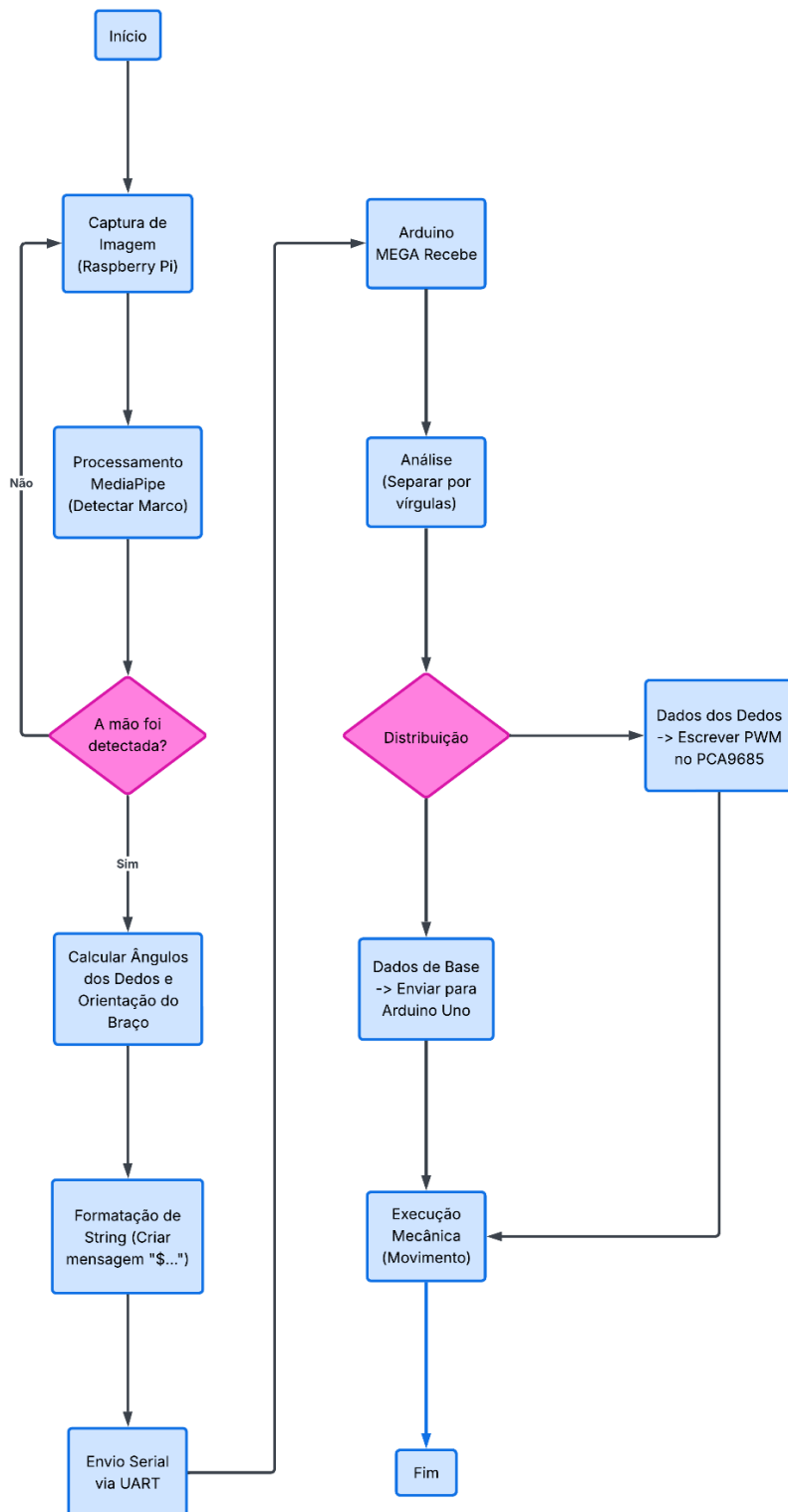


Figura 13: Fluxograma



### 4.3 Seleção da Ferramenta: Framework MediaPipe

Para a tarefa de deteção e rastreamento da mão e postura corporal, optou-se pela utilização do **MediaPipe**, uma *framework* de código aberto desenvolvida pela Google.

A escolha do MediaPipe, em detrimento de redes neurais convolucionais (CNNs) tradicionais (como YOLO ou SSD) treinadas para deteção de objetos, justifica-se pela sua arquitetura otimizada para inferência em *hardware* com recursos limitados (CPU). Enquanto uma CNN típica processa toda a imagem a cada *frame* para encontrar uma "caixa delimitadora" (bounding box) à volta da mão, o MediaPipe utiliza uma abordagem em duas etapas:

1. **Deteção de Palma:** Um modelo leve localiza a mão na imagem inicial.
2. **Regressão de Landmarks:** Uma vez localizada a mão, um segundo modelo mais complexo estima a posição de **21 pontos esqueléticos 3D** (designados por *landmarks*) dentro dessa região, sem necessidade de reprocessar a imagem inteira.



Figura 14: Topologia dos 21 landmarks detetados pelo modelo MediaPipe Hands.

Esta abordagem permite atingir taxas de atualização elevadas (aproximadamente 20 FPS no Raspberry Pi 5), essenciais para um controlo robótico fluido e em tempo real. Foram utilizados dois módulos específicos:

- **MediaPipe Hands:** Para a deteção detalhada dos 21 pontos das articulações dos dedos e pulso (Figura 15).
- **MediaPipe Pose:** Para a deteção da postura superior do corpo, especificamente os pontos dos ombros, utilizado para controlar a rotação da base (Figura 16).

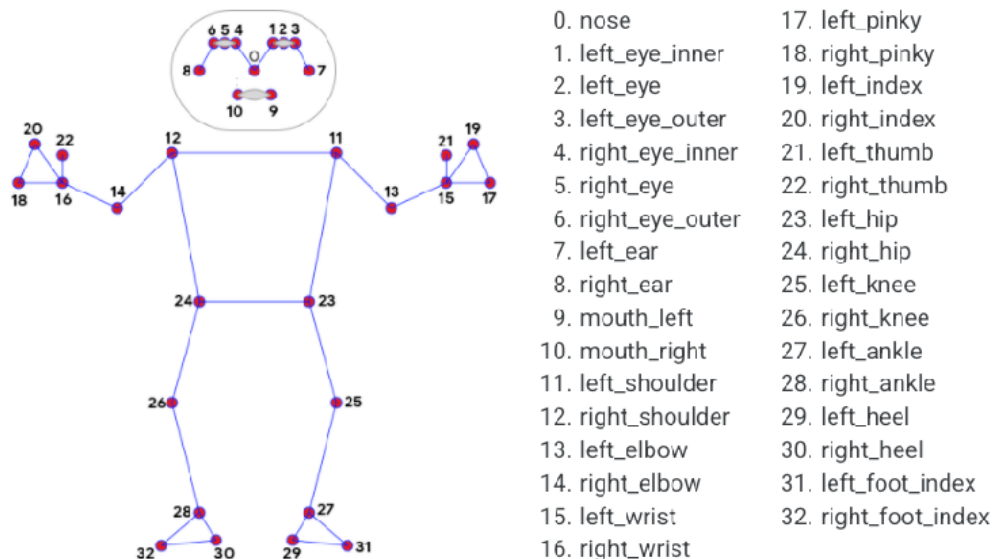


Figura 15: Mapeamento dos landmarks corporais do modelo MediaPipe Pose.

A visualização destes pontos pode ser observada na **Figura 16**. As linhas azuis representam as conexões esqueléticas da mão detetada pelo módulo *Hands*, enquanto a linha verde horizontal no topo representa a conexão entre os ombros detetada pelo módulo *Pose*.

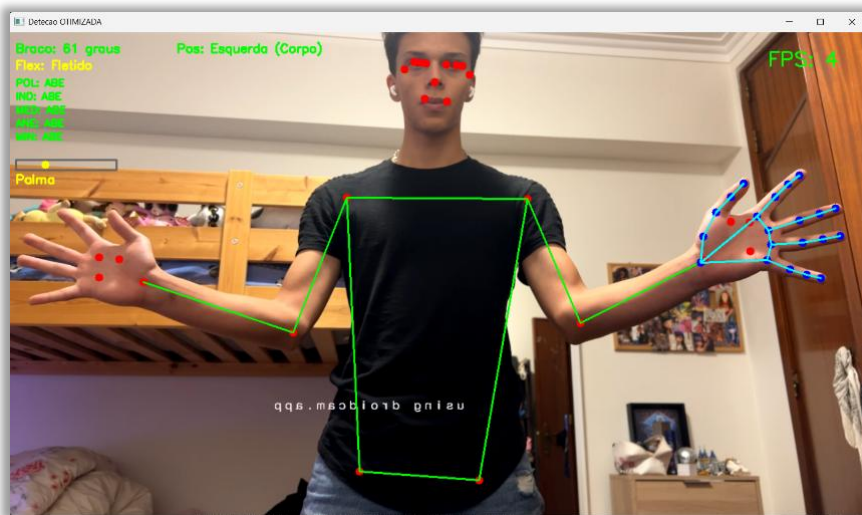


Figura 16: Visualização em tempo real das landmarks detetadas.

#### 4.4 Metodologia de Desenvolvimento (PC vs. Raspberry Pi)

Devido à complexidade dos cálculos geométricos e à necessidade de calibração fina dos limiares (*thresholds*) de deteção, o desenvolvimento do *software* seguiu uma abordagem faseada.

Inicialmente, o algoritmo foi integralmente desenvolvido e testado num computador pessoal (PC) com maior poder de processamento. Foi criado um *script* de depuração dedicado (VisionDebugger\_PC.py) que permite visualizar os ângulos calculados em tempo real no ecrã, facilitando o ajuste dos parâmetros sem a latência inerente ao hardware embarcado. Apenas após a validação robusta dos algoritmos, o código foi migrado e otimizado para o ambiente Linux do Raspberry Pi 5, garantindo uma transição suave do ambiente de desenvolvimento para o de produção.

## 4.5 Aquisição de Imagem e Multithreading

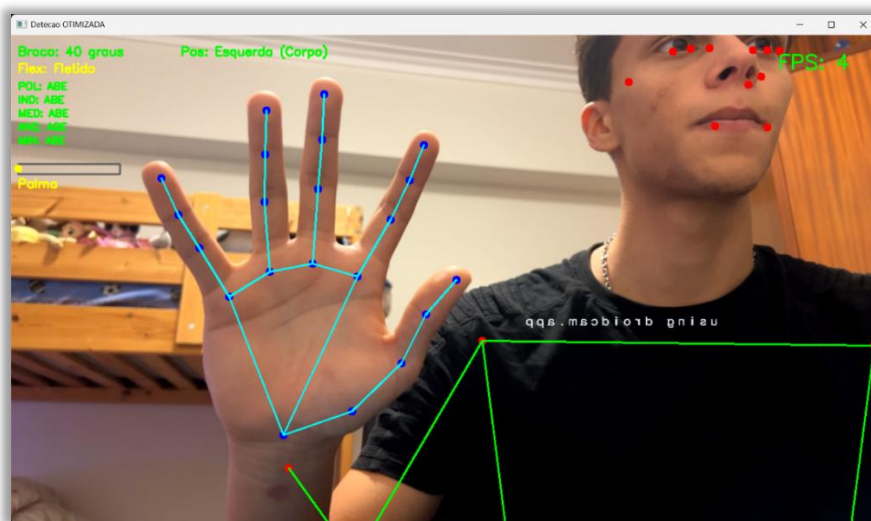
Para maximizar o desempenho, a captura de vídeo foi dissociada do processamento principal. Implementou-se uma classe dedicada (FluxoCamera no código) que utiliza *multithreading*. Um processo independente é responsável por ler os *frames* da câmara (utilizando a biblioteca OpenCV) e colocá-los num *buffer*. O ciclo principal do programa lê sempre o *frame* mais recente disponível neste *buffer*.

Esta técnica evita que o tempo de processamento da IA e dos cálculos matemáticos bloqueeie a leitura da câmara, reduzindo significativamente a latência total do sistema.

## 4.6 Lógica de Controlo e Utilização de Landmarks

A tradução dos movimentos humanos para o robô baseia-se na análise geométrica dos *landmarks* fornecidos pelo MediaPipe. O sistema processa dois fluxos de dados distintos, visualizados na interface de depuração (**Figura 17**): as linhas de conexão **verdes** correspondem ao esqueleto corporal (*MediaPipe Pose*) e as linhas **azuis** correspondem à estrutura da mão (*MediaPipe Hands*).

Embora o MediaPipe forneça 21 pontos por mão, não é necessário utilizar todos para determinar o estado básico de preensão. Foram selecionados pontos estratégicos para reduzir a carga computacional.



*Figura 17: Interface de depuração em funcionamento*



#### 4.6.1 Fundamentação Matemática: Cálculo de Ângulos Articulares

Uma das decisões críticas do projeto foi não basear o estado dos dedos ("aberto" ou "fechado") na simples distância euclidiana entre a ponta do dedo e o pulso. Este método é falível, pois varia consoante a proximidade da mão à câmara (escala).

Em vez disso, optou-se por uma abordagem baseada na **geometria vetorial**, calculando o ângulo formado pelas articulações. Este método é invariante à escala e à rotação da mão. Para determinar o estado de um dedo, calcula-se o ângulo  $\theta$  no vértice formado por três pontos-chave: a base do dedo (A), a articulação intermédia (B) e a ponta do dedo (C).

A função `angulo_3pts`, implementada no código, utiliza o produto escalar entre dois vetores ( $BA$  e  $BC$ ) e a função arco-cosseno para determinar este ângulo:

$$\theta = \arccos\left(\frac{BA * BC}{|BA||BC|}\right)$$

O seguinte trecho de código ilustra a implementação desta função utilizando a biblioteca Math para eficiência vetorial:

```
● ● ●  
1  def calcular_angulo_3pts(a, b, c):  
2      """  
3          Matemática: Calcula o ângulo entre 3 pontos.  
4          (Exemplo: Ombro -> Cotovelo -> Pulso para saber se o braço está esticado)  
5      """  
6      ax, ay = a[0]-b[0], a[1]-b[1]  
7      cx, cy = c[0]-b[0], c[1]-b[1]  
8      num = ax*cx + ay*cy  
9      den = math.hypot(ax, ay) * math.hypot(cx, cy) + 1e-8  
10     return math.degrees(math.acos(max(-1.0, min(1.0, num/den))))
```

#### 4.6.2 Estado dos Dedos (Aberto/Fechado)

Para determinar se um dedo se encontra fletido ou estendido, não se utiliza a distância entre pontos (que varia com a profundidade), mas sim o cálculo vetorial do ângulo na articulação intermédia.

Tomando como exemplo o dedo indicador, o algoritmo seleciona três pontos chave definidos no dicionário FINGERS do código:

- **Ponto 5 (MCP):** Articulação da base (referência proximal).
- **Ponto 6 (PIP):** Articulação intermédia (o vértice do ângulo).
- **Ponto 8 (TIP):** Ponta do dedo.



A função angulo\_3pts calcula o ângulo " $\theta$ " (teta) no vértice (Ponto 6) através do produto escalar dos vetores formados pelos segmentos de reta entre os pontos.

- **Lógica:** Se o ângulo  $\theta$  for superior a TH\_INDICADOR (ex:  $160^\circ$ ), o dedo considera-se **Aberto**. Caso contrário, considera-se **Fechado**. Esta lógica replica-se para os cinco dedos, garantindo robustez independentemente da rotação da mão.

Esta configuração repete-se para os restantes dedos, conforme o dicionário implementado no *software*:

```
● ● ●  
1 # 4. MAPA DOS DEDOS (Pontos do MediaPipe)  
2 # Diz ao programa quais os "pontos" do esqueleto que formam cada dedo  
3 DEDOS = {  
4     "polegar": [1, 2, 4],  
5     "indicador": [5, 6, 8],  
6     "medio": [9, 10, 12],  
7     "anelar": [13, 14, 16],  
8     "mindinho": [17, 18, 20]  
9 }
```

#### 4.6.3 Controlo da Base e Cotovelo (Direita / Centro / Esquerda)

Para a determinação da **Orientação da Base** (controlar se o robô roda para a esquerda, direita ou fica ao centro), o algoritmo não segue a posição X da mão na imagem (o que seria instável), mas sim a **abertura do braço** (ângulo do cotovelo).

Conforme o código desenvolvido (VisionDebugger\_PC\_PT.py) na função *determinar\_orientacao\_braço* e a topologia do MediaPipe Pose (Figura 16), os pontos utilizados são:

**Se for detetado o lado Direito do utilizador (padrão):**

- **Ponto 12 (Ombro Esquerdo/Direito na imagem):** Ponto de âncora proximal.
- **Ponto 14 (Cotovelo):** O Vértice onde é calculado o ângulo.
- **Ponto 16 (Pulso):** O ponto móvel que define a extensão.

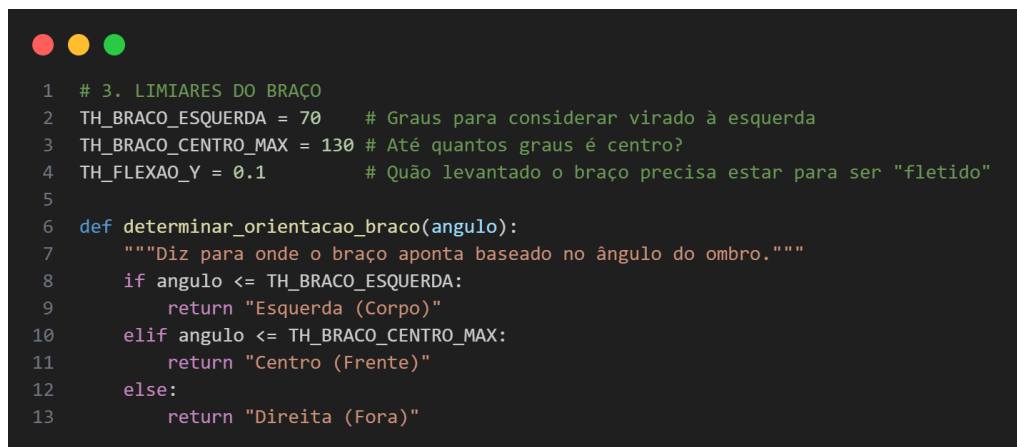
(Nota: Se o sistema detetar o outro braço, usa os pontos simétricos: 11, 13 e 15).



**Como funciona o cálculo:** O software calcula o ângulo formado no **Cotovelo (Ponto 14)** entre o segmento do Ombro e o segmento do Pulso.

- **Braço Fechado (< 70°):** O sistema interpreta como comando "Esquerda".
- **Braço Aberto (> 130°):** O sistema interpreta como comando "Direita".
- **Intermédio:** O sistema mantém-se no "Centro".

Isto permite controlar a base apenas esticando ou recolhendo o braço, sem precisar de deslocar o corpo pela sala.



```
● ● ●

1 # 3. LIMIARES DO BRAÇO
2 TH_BRACO_ESQUERDA = 70      # Graus para considerar virado à esquerda
3 TH_BRACO_CENTRO_MAX = 130 # Até quantos graus é centro?
4 TH_FLEXAO_Y = 0.1          # Quão levantado o braço precisa estar para ser "fletido"
5
6 def determinar_orientacao_braço(ângulo):
7     """Diz para onde o braço aponta baseado no ângulo do ombro."""
8     if ângulo <= TH_BRACO_ESQUERDA:
9         return "Esquerda (Corpo)"
10    elif ângulo <= TH_BRACO_CENTRO_MAX:
11        return "Centro (Frente)"
12    else:
13        return "Direita (Fora)"
```

#### 4.6.4 Flexão do Cotovelo (Cima / Baixo)

Para a **Flexão do Cotovelo (Movimento Cima / Baixo - Pitch)**, o algoritmo não utiliza ângulos, mas sim a diferença de altura (coordenada Y) entre dois pontos específicos para determinar a intenção do operador.

Conforme a implementação na função *determinar\_flexao\_braço* no ficheiro VisionDebugger\_PC\_PT.py e o mapa corporal na **Figura 16**, os pontos utilizados são:

- **Ponto 11 ou 12 (Ombro):** Serve como ponto de referência estático (altura base).
- **Ponto 15 ou 16 (Pulso):** Serve como ponto móvel.

#### Lógica de Funcionamento:

O sistema calcula a distância vertical absoluta entre o ombro e o pulso:

$$\Delta Y = |Y_{\text{ombro}} - Y_{\text{pulso}}|$$

- Ao contrário da rotação da base (que usa 3 pontos para um ângulo), aqui compara-se apenas a **posição relativa vertical** do pulso em relação ao ombro.



- Se o pulso estiver muito abaixo do ombro (grande diferença em Y), o braço está "em baixo".
- Se o pulso subir e se alinhar com o ombro (pequena diferença em Y), o sistema deteta a elevação.

```
● ● ●  
1 # 3. LIMIARES DO BRAÇO  
2 TH_BRACO_ESQUERDA = 70      # Graus para considerar virado à esquerda  
3 TH_BRACO_CENTRO_MAX = 130 # Até quantos graus é centro?  
4 TH_FLEXAO_Y = 0.1          # Quão levantado o braço precisa estar para ser "fletido"  
5  
6 def determinar_flexao_braço(ombro_y, pulso_y):  
7     """  
8         Diz se o braço está levantado (fletido).  
9         Compara a altura (Y) do ombro e do pulso.  
10        """  
11    diferença_y = abs(ombro_y - pulso_y)  
12    if diferença_y > TH_FLEXAO_Y:  
13        return "Fletido", diferença_y  
14    else:  
15        return "Estendido", diferença_y
```

#### 4.6.5 Rotação do Pulso (Roll)

Visto que o MediaPipe não fornece nativamente o ângulo de *Roll* (rotação da palma), foi desenvolvido um algoritmo heurístico na função *calcular\_rotacao\_mao*. Este método compara a posição relativa da ponta do **Polegar (Ponto 4)** e do **Dedo Mínimo (Ponto 20)**.

A inovação deste algoritmo reside na **troca dinâmica de eixos**:

- **Caso A (Braço Fletido):** A rotação é calculada pela diferença no **Eixo X** (horizontal) entre o polegar e o mínimo.
- **Caso B (Braço Estendido):** A rotação é calculada pela diferença no **Eixo Y** (vertical).



O valor diferencial resultante é normalizado num intervalo de -1 a 1 e mapeado para o intervalo de 0º a 180º, permitindo que o servo da rotação copie o movimento natural da mão do operador, quer este esteja com o braço levantado ou em baixo.

```
● ● ●
1 def calcular_rotacao_mao(marcos_mao, status_flexao, orientacao_braço, lado="Direita"):
2     """
3         Calcula se a mão está de Palma ou de Costas (Dorso).
4         Mede a distância entre o Polegar e o Mindinho.
5         Se a distância for positiva é palma, negativa é dorso (ou vice-versa).
6     """
7     polegar = marcos_mao[4] # Ponto na ponta do polegar
8     mindinho = marcos_mao[20] # Ponto na ponta do mindinho
9
10    diferença = 0
11
12    # A lógica muda dependendo se o braço está dobrado ou esticado.
13    esta_fletido = (status_flexao == "Fletido")
14
15    if esta_fletido:
16        # CASO 1: Braço Fletido (Dobrado)
17        # Usamos diferença no eixo X (Horizontal)
18        val_p = polegar.x
19        val_m = mindinho.x
20
21        # LÓGICA CORRETA PARA IMAGEM ESPELHADA (Modo Selfie):
22        if lado == "Direita":
23            # Mão Direita (no ecrã Direita): Palma significa Polegar(Esq) < Mindinho(Dir) -> Diferença é Negativa
24            diferença = -(val_p - val_m)
25        else:
26            # Mão Esquerda (no ecrã Esquerda): Palma significa Polegar(Dir) > Mindinho(Esq) -> Diferença é Positiva -> Inverter
27            diferença = (val_p - val_m)
28
29        eixo_usado = "X (Fletido)"
30
31    else:
32        # Braço Estendido
33        if "Direita" in orientacao_braço:
34            # CASO 3: Estendido para Direita -> Usar eixo Y (Vertical)
35            val_p = polegar.y
36            val_m = mindinho.y
37            diferença = (val_p - val_m)
38            eixo_usado = "Y (Est-Dir)"
39
40        else:
41            # CASO 2: Estendido para Centro/Corpo -> Usar eixo Y Invertido
42            val_p = polegar.y
43            val_m = mindinho.y
44            diferença = -(val_p - val_m)
45            eixo_usado = "Y-Inv (Est-Corpo)"
46
47        # Normalização: Converte a diferença bruta de pixels num valor padrão entre -1 e 1
48        DIF_MAXIMA = 0.22
49        valor_rotacao = max(-1.0, min(1.0, diferença / DIF_MAXIMA))
50
51        # Classificar por texto para Depuração (Debugging)
52        orientacao = "Indefinido"
53        if valor_rotacao < -0.3:
54            orientacao = "Palma"
55        elif valor_rotacao > 0.3:
56            orientacao = "Dorso"
57        else:
58            orientacao = "A Rodar / Canto"
59
60    return diferença, valor_rotacao, orientacao, eixo_usado
```

## 5 Resultados

A fase final do projeto consistiu na integração dos subsistemas de visão computacional, controlo lógico e mecânica. Os testes realizados validaram a arquitetura do sistema, embora tenham sido identificados desvios face ao desenho teórico inicial.

## 5.1 Resultados da Construção

Após a conclusão dos ciclos de impressão, procedeu-se à remoção das estruturas de suporte e à limpeza de todos os componentes (rebarbamento). Nesta fase, foi realizada uma inspeção visual rigorosa para validar a integridade estrutural das peças e a aderência entre camadas, garantindo que não existiam deformações críticas que comprometessem a montagem mecânica. A **Figura 2** ilustra o conjunto completo de peças preparadas para a fase de assemblagem, dispostas para inventariação.



*Figura 18: Conjunto de componentes estruturais do braço produzidos em PLA.*

Seguidamente, iniciou-se a pré-montagem estrutural do braço e da mão, ainda sem a integração dos atuadores (servomotores) e da cablagem. Esta etapa intermédia foi fundamental para verificar as tolerâncias dimensionais e o correto acoplamento entre as juntas rotativas e as peças estáticas.

Como se pode observar na **Figura 3**, o modelo InMoov demonstrou uma boa estabilidade mecânica apenas com as conexões estruturais, validando a qualidade da impressão 3D em PLA. Nesta configuração, confirmou-se a liberdade de movimento dos dedos e do pulso antes da fixação definitiva dos componentes eletrônicos.



*Figura 19: Vista geral do sistema robótico parcialmente montado.*

A montagem física do robô, baseada na manufatura aditiva (Impressão 3D em PLA), revelou desafios de tolerância e ajuste que exigiram intervenções corretivas durante a fase de construção:

- **Incompatibilidades Geométricas:** Na montagem da estrutura de suporte, verificou-se uma interferência entre a cabeça dos parafusos de fixação e a superfície de contacto entre a **Base do Braço Superior** (Fig. 9) e a **Base do Braço Inferior** (Fig. 8). Foi necessário realizar um pós-processamento manual (desbaste de material) para garantir o nivelamento e o acoplamento correto das peças.
- **Resistência Estrutural e Tolerâncias:** Durante a inserção do rolamento mecânico na **Estrutura Principal** (Fig. 5), observou-se uma fratura nas extremidades do componente impresso. Esta falha resultou de um ajuste de interferência excessivo para a rigidez do PLA, agravado pelas tensões internas do material arrefecido. A peça foi recuperada através de reforço estrutural localizado, permitindo a continuidade dos ensaios.



*Figura 20: Componente da base superior do braço sujeito a alterações pós-impressão.*

## 5.2 Validação da Visão Computacional

A fase final do projeto consistiu na integração total dos subsistemas de visão computacional, processamento lógico e atuação mecânica. Os testes realizados em ambiente real demonstraram o sucesso da arquitetura distribuída (Raspberry Pi + Arduinos), validando a capacidade do braço robótico em mimetizar os movimentos humanos com elevada fidelidade.

Conforme ilustrado na **Figura 19**, o sistema operou de forma autónoma, traduzindo a detecção dos *landmarks* faciais e manuais em comandos mecânicos precisos.



## Análise de Desempenho:

1. **Tempo de Resposta (Latência):** O sistema de visão, a correr no Raspberry Pi 5, manteve uma taxa de atualização estável (entre 15 a 20 FPS). A latência entre o gesto do operador e o movimento do servomotor foi perceptível, mas reduzida o suficiente para ser considerada "tempo real" para aplicações de telepresença.
2. **Precisão da Mimetização:**
  - **Dedos:** O algoritmo vetorial (baseado em ângulos) provou ser robusto, ignorando falsos positivos causados pela rotação da mão ou variação da distância à câmara.
  - **Base e Cotovelo:** A lógica de controlo gestual (baseada na extensão do braço e altura do pulso) permitiu controlar os motores de maior carga de forma intuitiva, sem exigir que o operador se deslocasse fisicamente da frente da câmara.
3. **Estabilidade Mecânica:** O protocolo de comunicação UART implementado garantiu que não existissem perdas de pacotes de dados, resultando num movimento fluido, embora limitado pelas restrições mecânicas dos próprios servomotores (velocidade de rotação e binário).

Em suma, a demonstração visual (**Figura 19**) comprova que o sistema atingiu os objetivos propostos: uma interface natural "humano-máquina" onde o corpo do operador funciona como o próprio comando do robô.



Figura 21: Demonstração funcional do sistema integrado

O desenvolvimento do módulo de visão computacional representou o desafio lógico mais complexo do projeto, constituindo a camada de abstração que permite a interação natural entre o operador humano e o sistema robótico.



A opção pela *framework* **MediaPipe** revelou-se acertada para a arquitetura de *hardware* limitada do Raspberry Pi 5. Ao contrário de redes neurais de deteção de objetos convencionais (como YOLO), a abordagem baseada em *landmarks* esqueléticos permitiu manter uma taxa de processamento elevada (aproximadamente 20 FPS), garantindo uma latência mínima crítica para aplicações de telepresença.

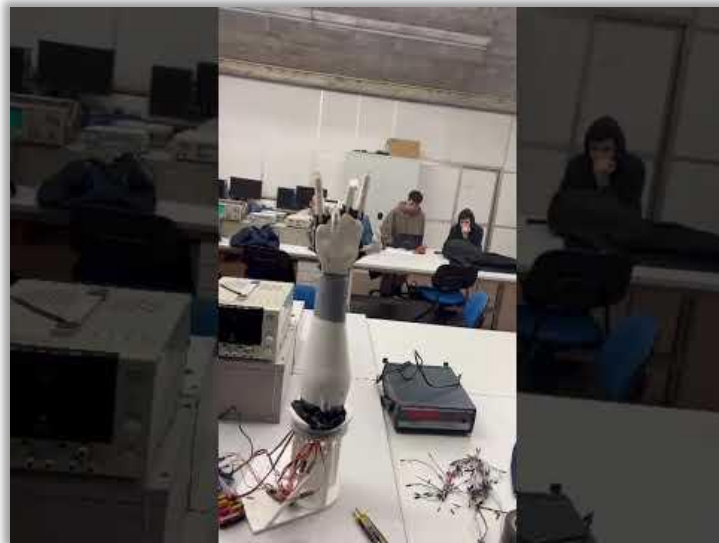
Do ponto de vista algorítmico, conclui-se que a transição de uma lógica baseada em distâncias euclidianas para uma baseada em **geometria vetorial** foi determinante para a robustez do sistema. O cálculo de ângulos articulares tornou o controlo invariante à escala, permitindo que o sistema funcione corretamente e independentemente da distância do utilizador à câmara. Adicionalmente, a implementação de heurísticas dinâmicas — como a troca de eixos para o cálculo da rotação do pulso e a máquina de estados para o controlo da base — permitiu contornar as limitações de um sistema de câmara monocular (2D), inferindo comportamentos tridimensionais complexos.

Em suma, o *software* desenvolvido não se limita a detetar a mão, mas atua como um intérprete de intenções, convertendo dados visuais brutos em comandos determinísticos prontos a serem transmitidos ao controlador de baixo nível (Arduino).

### 5.3 Validação Funcional (Mimetização)

O sistema atingiu o seu objetivo primário: a tradução de gestos humanos em movimentos robóticos. Conforme demonstrado na **Figura X** (registo vídeo dos testes), o braço robótico foi capaz de replicar a postura do operador em tempo real.

Os resultados da visão computacional indicaram uma taxa de atualização estável (aprox. 20 FPS no Raspberry Pi), permitindo uma latência "movimento-ação" suficientemente baixa para criar uma sensação de controlo direto. Os algoritmos vetoriais de deteção dos dedos mostraram-se robustos, acionando os servomotores corretamente mesmo com variações na iluminação ambiente.



*Figura 22: Sequência de teste funcional em tempo real.*

## 5.4 Desvios ao Projeto Inicial

Embora a funcionalidade principal tenha sido assegurada, o protótipo final apresenta limitações face à especificação idealizada:

- **Graus de Liberdade (DoF):** Não foi concretizada a implementação do servomotor adicional responsável pela inclinação frontal do ombro (*Forward Pitch*). Desta forma, a cinemática do braço ficou restrita à rotação da base, elevação lateral do ombro, rotação do pulso e actuação dos dedos.
- **Estabilidade da Instalação:** A fixação da base robótica à bancada de testes foi realizada através de métodos provisórios (adesivos temporários), o que resultou numa menor estabilidade face a movimentos de inércia elevada. Adicionalmente, a câmara de visão não possui um suporte sólido à estrutura do robô, tornando o sistema suscetível a desalinhamentos caso ocorram choques acidentais na mesa de trabalho, exigindo recalibrações da posição do operador.



*Figura 23: Mecanismo de acoplamento da base superior.*



## 5.5 Lista de Material Final

Nome	Referência/Especificação	Quantidade	Preço
Molas	3/16"x1-3/4 or 4.8mm x 44.5mm	5 molas (total)	7.49€
Tubos	Teflon pipes ID1.5MM X OD2.5MM	1595mm	2€
Servo motores (dedos)	MG996R	6	8.90€
Servo motores (braço)	DS5160	1	emStock
Motor de passo (base)	17HS4401S	1	emStock
Tendões	braided fishing line 0.8mm 200LB	5x50cm	8.12
Cabo Eletronico		16x40cm	em stock
Ecoflex	RTV silicone Ecoflex™ 00-10	1	35.00€
Câmera	Raspberry Pi Module 3	1	emStock
Raspberry PI 5	Raspberry PI 5	1	emStock
Arduino MEGA	Arduino MEGA	1	emStock
Arduino Uno	Arduino Uno	1	emStock
CNC Shield	CNC Shield V3	1	emStock
Manga Termo Retráctil		1.2m ou 800pz	3.51€
Íman	Ø 2.5 mm, altura 1 mm	5	4.6
Fluxo RMA	096-0207	1	1.99
Fita em poliamida	095-0793	1	5.03
Cabo Unifilar			4.49€

Tabela 4: Lista de Material

"Numa primeira abordagem, privilegiou-se a adesão à lista de materiais especificada no guia de referência [2]. No entanto, constatou-se que diversos componentes se encontravam descontinuados comercialmente e que as referências originais (*links*) estavam obsoletas.

Face a esta limitação, procedeu-se à elaboração de uma nova lista de materiais [Tabela 3], ajustada aos requisitos específicos do projeto. Relativamente aos componentes não disponíveis no *stock* da instituição, foi realizado um estudo de mercado com o objetivo

## 6 Conclusões e Trabalho Futuro

A realização deste projeto culminou no desenvolvimento de um sistema robótico antropomórfico funcional, capaz de validar a integração complexa entre fabrico aditivo, eletrónica de controlo distribuída e visão computacional. O protótipo final atingiu o objetivo primordial de mimetização, demonstrando que é possível criar interfaces humano-máquina intuitivas e de baixo custo utilizando tecnologias acessíveis como o Raspberry Pi e o MediaPipe.

No entanto, a análise crítica dos resultados experimentais permitiu identificar áreas onde a implementação atual, embora funcional, pode evoluir para um sistema de maior fidelidade e robustez.



## 6.1 Propostas de Trabalho Futuro

Com o intuito de aproximar o protótipo de uma aplicação profissional de telepresença, sugerem-se as seguintes linhas de investigação e desenvolvimento:

**1. Implementação de Controlo Proporcional (Mimetização Analógica)** A limitação mais significativa do *software* atual reside na natureza discreta (binária ou por estados) dos movimentos. O sistema deteta apenas se um dedo está "Aberto" ou "Fechado", ou se o braço está na "Esquerda" ou "Direita".

- **Melhoria Proposta:** Evoluir os algoritmos de visão para um **mapeamento proporcional direto**. Em vez de comparar ângulos com um limiar fixo, o sistema deverá converter o ângulo de flexão do dedo do operador (ex: 45°) diretamente num valor PWM correspondente para o servo (ex: servo.write(90)). Esta lógica deve ser estendida à rotação da base e à flexão do cotovelo, permitindo que o robô copie a velocidade e a posição exata do operador em tempo real, e não apenas salte para posições pré-definidas.

**2. Evolução da Estrutura Mecânica e Suporte da Câmara** A estabilidade física do sistema carece de otimização. A fixação provisória da base e a independência da câmara revelaram-se pontos fracos durante os testes.

- **Melhoria Proposta:** Redesenhar a base do robô para incluir um **suporte integrado e ajustável para a câmara**. Isto garantiria que o referencial de visão fosse sempre solidário ao robô, eliminando a necessidade de recalibração caso o sistema seja movido. Adicionalmente, deve ser desenvolvido um sistema de fixação à bancada por grampos (em vez de adesivos) para suportar a inércia de movimentos rápidos.

**3. Expansão dos Graus de Liberdade (Cinemática Completa)** O modelo atual carece do movimento de inclinação frontal do ombro (*Forward Pitch*), o que restringe a área de trabalho manipulável.

- **Melhoria Proposta:** Concretizar a instalação do servomotor em falta na articulação do ombro e integrar o respetivo controlo na cinemática inversa. Isto permitiria ao braço realizar movimentos de alcance para a frente e para trás, essenciais para agarrar objetos dispostos em diferentes profundidades na mesa.

**4. Feedback Sensorial (Malha Fechada)** Atualmente, o operador não recebe qualquer retorno físico sobre o sucesso da preensão.

- **Melhoria Proposta:** Instalar sensores de pressão (FSR) nas pontas dos dedos e motores de vibração numa luva haptica para o operador. Desta forma, quando o robô tocasse num objeto, o utilizador sentiria uma vibração correspondente, fechando o ciclo de controlo e permitindo a manipulação de objetos frágeis com maior segurança.



Em suma, este projeto estabeleceu uma base sólida para o desenvolvimento de robótica assistida, provando que a visão computacional moderna pode substituir controladores físicos complexos, tornando a tecnologia mais natural e acessível ao ser humano.

## 7 Referências

- [1] H. Abrantes, C. Rodrigues e R. Maria, "Proposta de Projeto Integrado: Braço Robótico Controlado por Visão", Escola Náutica Infante D. Henrique, Paço de Arcos, 2025.
- [2] G. Langevin, "InMoov Hand I2", InMoov Open-Source 3D Printed Life-Size Robot. [Online]. Disponível: <https://inmoov.fr/hand-and-forarm>. [Acedido: 28-Nov-2025].
- [3] G. Langevin, "InMoov Hand and Forearm", InMoov Open-Source 3D Printed Life-Size Robot. [Online]. Disponível: <https://inmoov.fr/hand-i2>. [Acedido: 28-Nov-2025].
- [4] Dsservo, "DS5160 Digital Servo Datasheet", 2023. [Online]. Disponível: <https://m.media-amazon.com/images/I/81EFGw8qkhL.pdf>.
- [5] Handson Technology, "17HS4401S Bipolar Stepper Motor Datasheet". [Online]. Disponível: <https://www.alldatasheet.com/datasheet-pdf/view/1492290/ETC/17HS4401S.html>.
- [6] Arduino Forum, "Using CNC Shield V3 directly with Arduino IDE", 2022. [Online]. Disponível: <https://forum.arduino.cc/t/using-cnc-shield-v3-directly-with-arduino-ide/1022999/2>.
- [7] Google Developers, "MediaPipe Hands," MediaPipe Solutions. [Online]. Disponível: [https://ai.google.dev/edge/mediapipe/solutions/vision/pose\\_landmarker](https://ai.google.dev/edge/mediapipe/solutions/vision/pose_landmarker).
- [8] Google Developers, "MediaPipe Pose," MediaPipe Solutions. [Online]. Disponível: [https://developers.google.com/mediapipe/solutions/vision/pose\\_landmarker](https://developers.google.com/mediapipe/solutions/vision/pose_landmarker).
- [9] OpenCV Team, "OpenCV: Open-Source Computer Vision Library," 2024. [Online]. Disponível: <https://opencv.org/>.
- [10] Raspberry Pi Foundation, "Raspberry Pi 5 – Documentation and Hardware Specifications," 2024. [Online]. Disponível: <https://www.raspberrypi.com/documentation/computers/raspberry-pi.html>.



- [11] Arduino, "Arduino Mega 2560 Rev3 Datasheet & Pinout". [Online]. Disponível: <https://docs.arduino.cc/hardware/mega-2560>.
- [12] Protoneer, "Arduino CNC Shield V3.00 – Schematics and Pinout," 2022. [Online]. Disponível: <https://www.zyltech.com/arduino-cnc-shield-instructions/>.
- [13] Grupo RIA-G7, "Repositório de Código Fonte: Humanoid Robotic Arm Vision Control," GitHub, 2025. [Online]. Disponível: <https://github.com/Bolofopt/HumanoidRoboticArmVision>.
- [14] Grupo RIA-G7, "Esquema Elétrico Completo e Interativo - Braço Robótico," *Cirkit Designer Project*, 2025. [Online]. Disponível: <https://app.cirkitdesigner.com/project/>.